

**Zooplancton.**

**Fiche 25.**

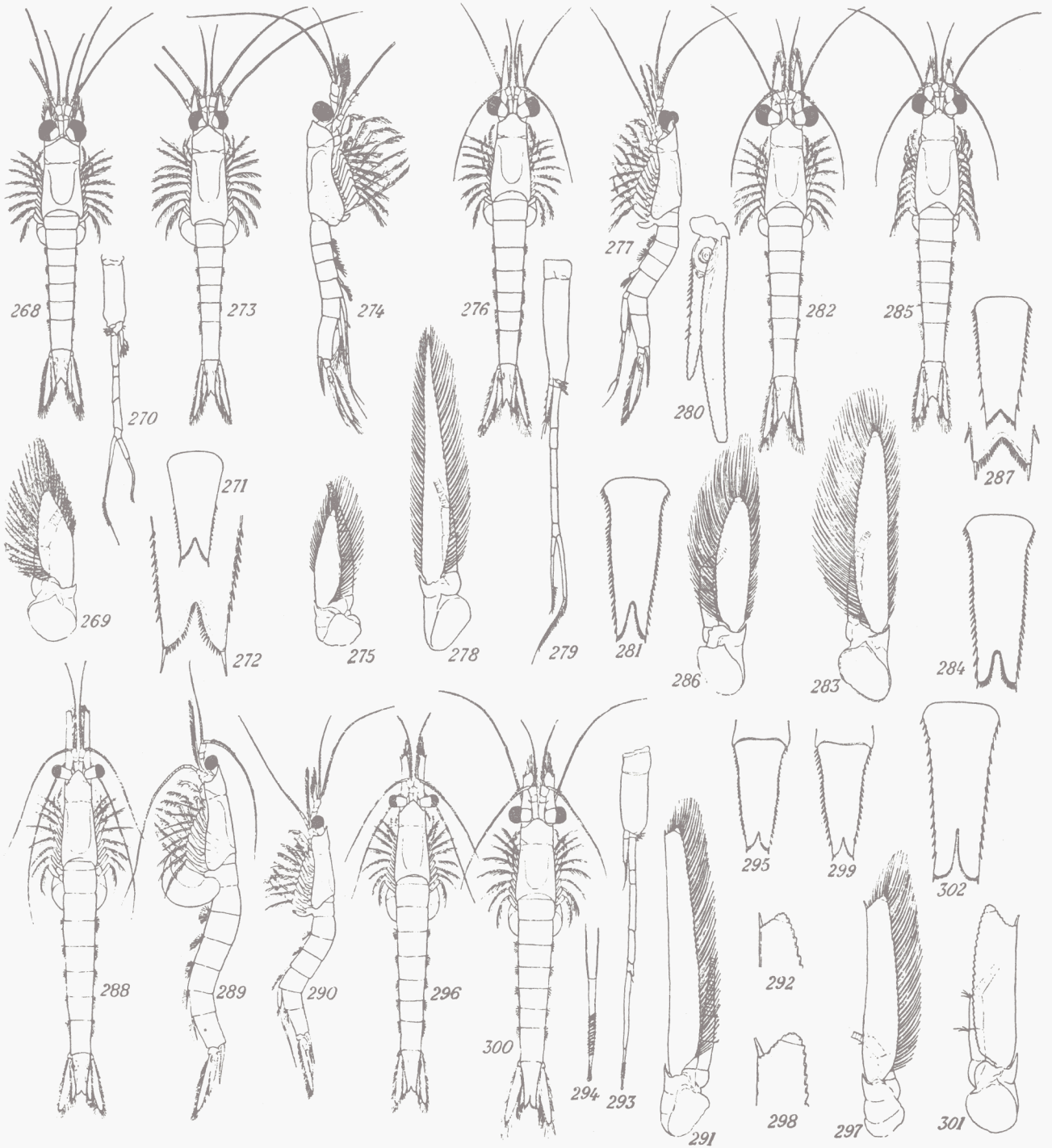
**MYSIDACEA**

**Fam. Mysidae** (suite 6): **MYSINAE** (suite 4):

**Mysini** (part.).

(Par H. Nouvel)

**1950.**



(D'après divers auteurs. — Echelles différentes)

Fam. MYSIDAE Dana (suite 6)  
Sous-fam. MYSINAE Hansen (suite 4)

Tribu Mysini Hansen  
(voir aussi fiches 26 et 27)

6<sup>e</sup> article des appendices thoraciques avec 2, 3 ou plus de 3 articulations dont aucune n'est oblique. Chez les ♂, au moins les pléopodes de la 2<sup>e</sup> paire sont rudimentaires, les exopodites de la 4<sup>e</sup> paire sont allongés et modifiés. Ecaille antennaire de forme très variable.

Genre HEMIMYSIS G. O. Sars

74. *H. lamornae* (Couch 1856) f. *typica*. — (Fig. 268—272). — L'écaille antennaire ne dépasse pas le pédoncule de l'antennule. — Norman, 1860, (*Mysis lamornae*), pl. 8, fig. 4—5. G. O. Sars, 1879, (*Mysis lamornae*), pl. XXX. Zimmer, 1909, fig. 289—292. 1933, fig. 12, 13. Bacesco, 1938, fig. 18.
75. *H. abyssicola* G. O. Sars 1869. — (Fig. 273—275). — L'écaille antennaire dépasse très nettement le pédoncule antennulaire. — G. O. Sars, 1879, pl. XXII—XXIII. Zimmer, 1909, fig. 293—298. 1933, fig. 10—11. Bacesco, 1941a, fig. I, II.

Genre MYSIS Latreille

Clé de détermination des espèces considérées :

- I. L'extrémité de l'écaille antennaire forme une pointe très aiguë; son bord externe est rectiligne ..... *mixta*  
L'écaille antennaire lancéolée est un peu arrondie à l'extrémité; son bord externe est courbé ..... II
- II. L'écaille antennaire est 5 à 6 fois plus longue que large. Le telson a plus de 20 épines latérales de chaque côté ..... *oculata*  
L'écaille antennaire est seulement 4 fois plus longue que large. Le telson a moins de 20 épines latérales ..... *oculata relicta*
76. *M. mixta* Lilljeborg 1852. — (Fig. 276—281). — G. O. Sars, 1879, pl. XXXIII. Zimmer, 1909, (*Michtheimysis mixta*) fig. 355—360. 1933, fig. 25, 65.
77. *M. oculata* (Fabricius 1780). — (Fig. 282—284). — G. O. Sars, 1879, pl. XXXI. Zimmer, 1909, fig. 348—354.
78. *M. oculata* var. *relicta* (Lovén 1861). — (Fig. 285—287). — G. O. Sars, 1867, pl. I—III. 1879, pl. XXXII. Czerniavsky, 1882, pl. XV, fig. 17—20; pl. XVI; pl. XVII, fig. 1. Zimmer, 1933, fig. 23, 24, 66, 70, 75.

Genre PRAUNUS Leach  
(= *Macromysis*)

Clé de détermination des espèces :

- I. Ecaille antennaire, au plus, 4 fois plus longue que large. La longueur de l'encoche terminale du telson vaut plus du  $\frac{1}{4}$  de la longueur totale du telson. Pédoncule oculaire environ aussi long que large (en vue dorsale) ..... *inermis*  
Ecaille antennaire au moins 5 fois plus longue que large. L'encoche vaut moins du  $\frac{1}{5}$  de la longueur totale du telson. Le pédoncule oculaire bien plus long que large ..... II
- II. Ecaille antennaire 7 à 8 fois plus longue que large, dépassant le pédoncule antennulaire de plus de la longueur de ce dernier; le lobe distal ne dépasse pas la pointe de l'épine distale dont la direction prolonge le bord externe de l'écaille ..... *flexuosus*  
Ecaille antennaire 5 à 6 fois plus longue que large, dépassant le pédoncule antennulaire d'à peine la longueur de ce dernier; le lobe distal dépasse légèrement l'épine distale qui est un peu oblique par rapport à la direction du bord externe ..... *neglectus*
79. *P. flexuosus* (Müller 1788). — (Fig. 288—295). — G. O. Sars, 1879, (*Mysis flexuosa*) pl. XXIV—XXV. Blegvad, 1922, (*M. flexuosa*) fig. 6. Zimmer, 1933, fig. 68—69.
80. *P. neglectus* (G. O. Sars 1869). — (Fig. 296—299). G. O. Sars, 1879, (*Mysis neglecta*) pl. XXVI. Blegvad, 1922, (*M. neglecta*) fig. 6. Zimmer, 1933, fig. 15—16.
81. *P. inermis* (Rathke 1843). — (Fig. 300—302). — G. O. Sars, 1879, (*Mysis inermis*) pl. XXVII. Zimmer, 1909, fig. 306—310. 1933, fig. 14.

Légende des Figures

Fig. 268—272. *Hemimysis lamornae*: 268, ♀, vue dorsale; 269, base de l'antenne; 270, pléopode 4 du ♂; 271, telson; 272, extrémité du telson.

Fig. 273—275. *Hemimysis abyssicola*: 273, ♀, vue dorsale; 274, ♂, vue latérale; 275, base de l'antenne.

Fig. 276—281. *Mysis mixta*: 276, ♀, vue dorsale; 277, ♂, vue latérale; 278, base de l'antenne; 279, pléopode 4 du ♂; 280, uropode droit, face inférieure; 281, telson.

Fig. 282—284. *Mysis oculata*: 282, ♀, vue dorsale; 283, base de l'antenne; 284, telson.

Fig. 285—287. *Mysis oculata relicta*: 285, ♀, vue dorsale; 286, base de l'antenne; 287, telson.

Fig. 288—295. *Praunus flexuosus*: 288, ♀, vue dorsale; 289, ♀, vue latérale; 290, ♂, vue latérale; 291, base de l'antenne; 292, extrémité de l'écaille antennaire; 293, pléopode 4 du ♂; 294, extrémité de ce dernier; 295, telson.

Fig. 296—299. *Praunus neglectus*: 296, ♀, vue dorsale; 297, base de l'antenne; 298, extrémité de l'écaille antennaire; 299, telson.

Fig. 300—302. *Praunus inermis*: 300, ♀, vue dorsale; 301, base de l'antenne; 302, telson.

## Distribution

(voir fiche 27)

## Références.

- B a c e s c o, M. 1938. Ann. Scient. Univ. Jassy, 2<sup>e</sup> partie, t. XXIV (2), pp. 425—438, fig. 18—26, 2 pl.  
— 1941a. Arch. Zool. exp. et gén., t. 81, N. et R. no. 4, pp. 164—172, 6 fig.  
B l e g v a d, H. 1922. Rep. Dan. Biol. Stat., Copenhague, t. XXVIII, 103 pp., 4 fig.
- C z e r n i a v s k y, V. 1882—83. Monogr. Mysidarum imprimis Imp. Rossici. — Trav. Soc. Nat. St.-Pétersb. 1887, t. XII, XIII et XVII.  
N o r m a n, A. M. 1860. Ann. Mag. Nat. Hist., ser. 3, vol. VI, pp. 429—431.  
S a r s, G. O. 1867. Histoire naturelle des Crustacés d'eau douce de Norvège, Christiania, III + 146 p., 10 pl.

Autres références: voir fiche 19.